

СИБИРСКОЕ ОТДЕЛЕНИЕ АН СССР 87
ИНСТИТУТ ЯДЕРНОЙ ФИЗИКИ

М.И.Гинзбург, В.А.Кабаник,
В.И.Кузнецов, С.В.Кротов

ЧЕТЫРЕХКРИСТАЛЬНЫЙ
РЕНТГЕНОВСКИЙ СПЕКТРОМЕТР,
УПРАВЛЯЕМЫЙ ОТ ЭВМ

ПРЕПРИНТ 79-160



Новосибирск

ЧТЧРЕНХКРИСТАЛЬНЫЙ РЕНТГЕНОВСКИЙ СПЕКТРОМЕТР,

УПРАВЛЯЕМЫЙ ОТ ЭВМ

М.И.Гинзбург, В.А.Кабанник, В.И.Кузнецов, С.В.Кротов

АННОТАЦИЯ

Разработан и изготовлен двухосный четырехкристальный рентгеновский спектрометр, управляемый от ЭВМ на основе использования двойных монохроматических S_2 и Ge кристаллов-монохроматоров.

Спектрометр обеспечивает фиксирование положение дифракционного пучка в диапазоне энергий от 6 до 60 кэВ.

Спектрометр предназначен для работы на синхротронном излучении при проведении предварительной монохроматизации в экспериментах по Мессбауэровской дифракции.

В В Е Д Е Н И Е

В настоящей статье описывается двухосный четырехкристальный рентгеновский спектрометр, использующий для монохроматизации рентгеновского пучка двойные моноблочные Si и Ge кристаллы-монохроматоры ("бабочки").

Спектрометр предназначен для предварительной монохроматизации в экспериментах по Мессбауэровской дифракции, в которых в качестве источника излучения используется синхротронное излучение (СИ) накопителей [1]. Большой энергетический диапазон СИ допускает широкий выбор Мессбауэровских ядер для возбуждения их пучком синхротронного излучения.

Для работы по возбуждению ядер различных изотопов предполагается использовать четырехкристальный спектрометр, в котором плавная перестройка с одной энергии на другую осуществляется с помощью шаговых двигателей (ШД) управляемых от ЭВМ. При этом выбор определенной геометрии кристаллов - геометрии с максимальной дисперсией (симметричное отражение по Брэггу) (см.рис.1а) обеспечивает фиксирование положения диафрагированного пучка в диапазоне энергий от 6 до 60 КэВ. Такое решение сильно упрощает задачу юстировки и настройки аппаратуры при переходе от одного ядра к другому.

При выделении узкой Мессбауэровской линии ($\frac{\delta E}{E} = 10^{-12} + 10^{-10}$) из сплошного спектра СИ возникает необходимость уменьшить пьедестал, связанный с диффузным рассеянием от кристаллов. Одно из возможных решений уменьшения фонового сигнала и достижение хорошего разрешения заключается в использовании совершенных кристаллов-монохроматоров для которых выполняется условие многократного Брэгговского отражения [2]. В данном спектрометре при использовании моноблочных Si и Ge кристаллов осуществляется четырехкратное Брэгговское отражение.

Измерения основных характеристик спектрометра проводились на молибденовой трубке БСВ-8.

КОНСТРУКЦИЯ СПЕКТРОМЕТРА

Схема четырехкристального спектрометра показана на рис.2, а его общий вид на рис.3.

Спектрометр имеет две независимые оси вращения (2), которые расположены на базовой плате (1) прибора. На вертикальных осях устанавливаются гониометрические головки, которые состоят из латунной втулки (3), закрепленной на вертикальной оси (2), внутреннего радиационного круга (4), диаметром 86 мм и нанесенными на нем угловыми делениями с шагом равным 1° , внешней платформы (5) диаметром 88 мм, на которой размещен подвижной столик кристаллодержателя (6).

Крепление втулки к вертикальной оси гониометрической головки осуществляется подпружиненным винтом (7).

Внешняя платформа обеспечивает установленному на ней подвижному столику кристаллодержателя поворот в азимутальном направлении в пределах 360° .

Подвижной столик при необходимости позволяет юстировать кристалл в горизонтальной плоскости, обеспечивая линейное перемещение в пределах ± 5 мм и поворот вокруг вертикальной оси в пределах 360° и вертикальной оси в пределах $\pm 5^{\circ}$.

Осевой привод гониометрической головки состоит из внешней круглой платформы вращающейся вокруг проградуированной шкалы внутреннего круга (4) и поворотного тангенциального плеча (8) длиной 300 мм, закрепленного на втулке (3) разрезной муфтой (9).

Угловой диапазон вращения поворотного плеча 7° . На конце плеча закреплена закаленная полированная стальная пластина (10), служащая опорой для конусообразного острия микрометрического винта (II). Полный линейный ход винта 50 мм. Шаг винта 250 мк. Вращение винта производится шаговыми двигателями РШД-28 (12). Шаг двигателя в угловых единицах 1° и неточность положения вала двигателя $\pm 20'$. Вращение ШД передается микрометрическому винту при помощи безлифтовой системы имеющей два кардана (13) и подвижную муфту (14).

Микрометрический винт (II) крепится на вертикальной стойке (15) гайкой (16) с угловым зажимом. Стойка расположена на горизонтальной платформе (17), на которой устанавливается растяжка (18), подпружинивающая поворотное плечо (8), стойка микровыключателей (19), блокирующий работу ШД, крепление разъемов (20), шаговые двигатели (12).

Конструктивное размещение и исполнение всех узлов поворотного механизма независимых гониометрических головок выполнено идентично.

Для устранения фона, связанного с диффузным рассеянием рентгеновского пучка от первого кристалла и защитой детектора от прямого прошедшего пучка через кристалл между двумя гониометрическими головками устанавливается горизонтально танталовая щель (21) толщиной ~ 3 мм, имеющая плавный ход по одной из координат ~ 10 мм.

ОПИСАНИЕ РАБОТЫ СПЕКТРОМЕТРА

В зависимости от условий эксперимента спектрометр может устанавливаться как в вертикальной, так и в горизонтальной геометрии с симметричным или асимметричным отражением кристаллов по Брэггу.

В данных измерениях для установки спектрометра в рабочее положение базовую плиту прибора располагали горизонтально на верхней плате источника питания ВИП2-50-60 рентгеновской трубы БСВ-8.

Трубка при юстировке перемещается вдоль продольной оси и вращается вокруг вертикальной и собственной оси.

К защитному кожуху рентгеновской трубы крепится коллиматор, состоящий из двух вертикальных и одной горизонтальной щелей. Вторая горизонтальная щель располагается между кристаллами и может плавно перемещаться в пределах ± 5 мм с точностью $\sim 0,05$ мм.

Рентгеновский пучок от Mo трубы проводится по вертикальным осям спектрометра при помощи вертикальных щелей,

установленных на защитном кожухе трубы и перед детектором. Для регистрации излучения использовался сцинцилляционный детектор ФЭУ-85 со сцинциллятором $\text{NaI}(\text{Tl})$ размером $\phi 20 \times 1$ мм. Сигнал с детектора усиливался (Y), затем через дискриминатор (D) подавался на вход пересчетки (P), которая открывалась на заданное время сигналом со счетчика-таймера (T). Блок-схема шагового привода и внешних устройств управляемых с помощью ЭВМ (ОДРА-1325), показана на рис.4.

Система шагового привода содержитстыкующий узел (SU), разработанный в ИЯФ СО АН СССР [3] SU необходим для подсоединения к сети последовательной связи с ЭВМ. SU преобразует сигнал от ЭВМ в последовательном виде в параллельный код. Параллельный битовый код из SU подается в блок управления шаговыми двигателями (БУШД). Этот код несет информацию о направлении движения III и количестве шагов. Код, поступающий в БУШД с помощью последовательного перераспределения тока в обмотках III , преобразуется в последовательность угловых шагов вала III .

БУШД имеет автомат, включающий токи в обмотках III в момент начала исполнения команды и выключающий его после выполнения команды через время достаточное для полного успокоения механизма. Такой автомат позволяет уменьшить воздействие тепла возникающего в обмотках III на кристаллы-монохроматоры.

Частота шагов задается внутренним генератором. Количество шагов III равно коду двоичного числа на входе БУШД, а направление определяется старшим битом кода. Соответствующая директива, управляющей программы заносит число в БУШД, которое определяет направление и количество шагов III . Об исполнении команд устройство сообщает в ЭВМ импульсом в сигнальном кабеле "пинг". Информация с пересчетки и таймера, связанная с каждым перемещением III по системе связи записывается в ЭВМ. Таким образом, количество перемещений, задаваемых в БУШД хранится в массиве, находящемся в оперативной памяти ЭВМ.

Директивами управляющей программы задается направление вращения III , работа одного или двух III , выборание лифтов, нахождение максимума в спектре эмиссионных линий.

Управление работой спектрометра осуществляется с видеотона (BD) в режиме диалога с ЭВМ.

Первичная информация, полученная в результате сканирования по спектру выводится из памяти с помощью внешних устройств вывода: знакопечатающего устройства (DZM), графического цветного дисплея (ГД), цифроаналогового преобразователя (ЦАПО).

Помимо усовершенствований, связанных с автоматикой управления спектрометром в конструкции спектрометра были использованы моноблочные двойные Si и Ge кристаллы-монохроматоры, вырезанные в плоскости (220) и (III). Пара двойных моноблочных кристаллов позволяет четырехкратно по Брэггу отразить рентгеновский луч и, тем самым, уменьшить фоновый сигнал и достичь хорошего разрешения системы.

При одинаковых углах вращения из условия Брэгга: $n\lambda = 2d_{hkl} \cdot \sin \vartheta$ следует, что энергетический диапазон перекрываемый кристаллами, вырезанными вдоль плоскости (220) ($d_{\text{Si}(220)} = 1.92 \text{ \AA}$, $d_{\text{Ge}(220)} = 1.99 \text{ \AA}$) значительно больше, чем для аналогичной конструкции монохроматора, вырезанного вдоль плоскости (III) ($d_{\text{Si}(III)} = 3.14 \text{ \AA}$, $d_{\text{Ge}(III)} = 3.25 \text{ \AA}$). Это условие значительно сокращает число шагов III при плавной перестройке с одной длины волны на другую. Однако при работе на синхротронном излучении в спектре отражения от плоскости (III) отсутствует вторая гармоника по λ .

Условие многократного Брэгговского отражения накладывает определенные требования на совершенство кристаллов [4, 5, 6].

При выборе материала для изготовления монохроматоров изучалась зависимость влияния величины плотности дислокаций на отражающие свойства Ge кристаллов.

Исследуемые кристаллы ориентировали и вырезали вдоль плоскости (400) с точностью не хуже $5'$. Была проведена серия измерений образцов выращенных приблизительно с одинаковой концентрацией примесей ($\sim 10^{12} \text{ см}^{-3}$) и плотностью дислокаций меняющейся от 10^2 до 10^5 см^{-2} . Измерения проводились в схеме $(+1, -1)$ с $D=0$.

В качестве исходного германия были использованы монокристаллы высокочистого германия, выращенные по методу Чохральского в кристаллографическом направлении (100), диаметром 30 + 35 мм. с концентрацией нескомпенсированных примесей ($N_a - N_g$) $- 4 \cdot 10^{11} + 8 \cdot 10^{11} \text{ см}^{-3}$ и имеющих суммарную концентрацию ($N_a + N_g$) $\sim 10^{12} \text{ см}^{-3}$, но различающихся по величине плотности дислокаций от 10^2 до 10^5 см^{-2} .

Измерения зависимости отражающих свойств германиевых кристаллов от изменения величины плотности дислокаций проводились на линии $K_{\alpha_1} Mo$ в схеме (+I, -I) с $D=0$.

В качестве первого кристалла-монохроматора был выбран кристалл из исследуемой серии с минимальной плотностью дислокаций, что позволяло проводить измерения в приближении "плоской волны" ($\Delta\vartheta_1 < \Delta\vartheta_2$).

На рис.5 показаны характерные зависимости величины абсолютного коэффициента отражения и ширины на ПВ (полувысоте) "кривой качания" изучаемых Ge кристаллов от изменения величины плотности дислокаций.

На рис.5 и таблице I видно, что кристаллы использующиеся для многократного Брэгговского отражения, разумно выбирать достаточно высокой степени чистоты с $N_a - N_g = n \cdot 10^{11} \text{ см}^{-3}$ и плотностью дислокаций не хуже чем 10^3 см^{-2} .

Для измерения характеристик четырехкристалльного спектрометра использовались Si кристаллы с плотностью дислокаций $\rho_g = 5 \cdot 10^2 \text{ см}^{-2}$ и проводимостью $\sigma = 1000 \text{ ом} \cdot \text{см}$ и Ge кристаллы с плотностью дислокаций $\rho_g = 10^3 \text{ см}^{-2}$ и проводимостью $\sigma = 300 \text{ ом} \cdot \text{см}$.

Кристаллы были вырезаны так, что факторы асимметрии $\beta = \sin(\vartheta - \delta) / \sin(\vartheta + \delta)$ были равны $\beta_{Si(20)} = 0.945$ и $\beta_{Ge(111)} = 0.965$, где ϑ - угол Брэгга на длине волн $\lambda_{K_{\alpha_1} Mo} = 0.71 \text{ \AA}$ δ - угол между плоскостью дифракции и

внешней плоскостью кристалла.

В рабочем положении юстировка двойных кристаллов-монохроматоров осуществляется выведением одной из отражающих плоскостей кристаллов на вертикальные оси гониометрических головок (метод расоловиневания пучка). Точная юстировка производится покачиванием кристаллов в вертикальной плоскости и перемещением в плоскости перпендикулярной плоскости рентгеновского пучка.

Изменение угла при повороте кристалла вокруг вертикальной оси приводит к параллельному перемещению пучка дважды отраженному по Брэггу относительно первоначального направления падающего рентгеновского пучка. Величина смещения определяется выражением вида:

$$\delta H = 2h [\cos \vartheta_{\alpha_1} (1 - \cos \delta\vartheta) + \sin \vartheta_{\alpha_1} \sin \delta\vartheta]$$

где ϑ_{α_1} - начальный угол Брэгга, $\delta\vartheta$ - угол поворота кристалла, h - ширина канавки в моноблочном кристалле. Эта формула определяет смещение дифрагированного пучка для одного моноблочного кристалла-монохроматора. Для четырехкристалльного спектрометра с симметричным отражением кристаллов по Брэггу в схеме (+I, +I) с D_{max} эта формула остается применимой, однако, h - ширину канавки одного кристалла следует заменить Σh - разностью ширины канавок одного и другого кристаллов.

Для определения воспроизводимости и абсолютной калибровки спектрометра по энергии была выбрана схема (+I, +I) с максимальной дисперсией (см.рис.3а). Достоинством схемы с D_{max} является то, что при синхронном вращении кристаллов положение выходящего пучка из системы подобных двойных моноблочных кристаллов остается неподвижным.

Абсолютная калибровка по энергии проводится на характеристических линиях Mo трубы ($K_{\alpha_1}, K_{\alpha_2}, K_{\beta_1}, K_{\beta_2}$), каждая линия которой, служит в данных измерениях репером.

Грубая настройка кристаллов на одну из эмиссионных линий (например, K_{α_2}) производится вращением барабана гониометрической головки. При этом жестоко не связанные с барабанами плечи тангенциального углового механизма поворота отводятся

в крайнее положение до срабатывания концевиков, блокирующих работу ШД. Это положение считается за начало отсчета на угловой шкале и запоминается в виде числа в памяти ЭВМ. В данном случае, кодировка длины микрометрического винта производится в числе, задающим величину поворота и диапазон сканирования ШД. Оперирование числом, как заданным угловым поворотом микрометрического винта, приводит ко взаимооднозначному соотношению между величиной шага ШД и значением определенной длины волн (энергии).

Выбор направления вращения кристаллов связан с необходимостью измерения люфтов ШД и механизмов углового поворота. Величина люфтов определялась по наклону "кривой качания" Si кристалла (220) на линии K_{α_1} . Для выбирания люфтов все измерения по спектру проводились в одну сторону.

В положении (+1, +1) по Браггу (D_{max}) для пары двойных Si моноблочных кристаллов (220) в режиме автоматического синхронного шагового сканирования измерялись спектральные интенсивности эмиссионных линий Mo трубы. Как указывалось выше, по положению эмиссионных линий можно было провести калибровку спектрометра по энергии, учитывая изменение шага, связанные с характером тангенциальной угловой передачи.

Сравнение измеренных спектральных интенсивностей эмиссионных линий трубы с результатами работ [7а, 7б] приведено в таблице 2. На рис.6 показан измеренный эмиссионный спектр трубы. Напряжение на трубке было равно $U = 40$ кВ и ток $I = 20$ мА.

Воспроизводимость определялась путем многократного повторения "кривых качания" в широком интервале ($K_{\alpha_1} - K_{\beta_1}$) в схеме с D_{max} . Положение дифракционного пика h_{111} при отклонении от начального углового значения на 5° воспроизводилось с точностью не хуже 5 (10 шагов ШД).

Для измерения разрешающей способности прибора была выбрана схема (+1, -1) с $D=0$ (см.рис.1б). При неподвижном первом кристалле (Si (220)) настроенном на максимум отраже-

ния K_{α_1} линии, вращении второго кристалла (Si (220)) в режиме автоматического шагового сканирования с шагом $\sim 0,5$ снимался профиль "кривой качания" на линии $K_{\alpha_1} Mo$. В этом случае ШПВ "кривой качания" характеризует качество обработки поверхностей и совершенство исследуемых кристаллов. На рис.7 показана "кривая качания" Si (220) кристалла, измеренная в схеме с $D = 0$.

Разрешающая способность прибора работающего как четырехкристальный спектрометр определялась в схеме (+1, -1) с $D=0$ на K_{α_1} линии излучения Mo и была не хуже $0.14 \cdot 10^{-5}$.

СОБСУДЖЕНИЕ РЕЗУЛЬТАТОВ

Измерение основных характеристик спектрометра показало, что в целом прибор удовлетворяет требованиям сформулированным к нему во введении.

На примере измерения эмиссионных линий Mo трубы в схеме с D_{max} продемонстрирована плавная перестройка длины волн и показана хорошая точность в фиксировании координаты дифракционного пучка.

Полученные характеристики могут быть улучшены путем увеличения точности и уменьшения шага углового механизма поворота. Для этого необходимо увеличить жесткость и длину плеча углового механизма, уменьшить шаг ШД, используя редукционную передачу, уменьшить шаг микрометрического винта.

Для уменьшения ухода в величине шага, связанного с изменением температуры предлагается изготовить детали углового механизма из одного материала и термостатировать его, погружая в герметичную кювету с термостабилизирующей жидкостью.

Для увеличения разрешения спектрометра необходимо применять совершенные кристаллы, вырезанные и обработанные с высокой точностью. Возможность использования кристаллов с косыми срезами поможет, с одной стороны, изменить светосилу прибора (за счет приемных углов), с другой стороны, увеличить разрешение системы кристаллов с многократным Брагговским отражением.

используя высокие порядки по d_{hkl} [4].

Опыт работы со спектрометром на Mo трубке показал хорошую воспроизводимость при измерении спектров и надежность полученных результатов.

В заключении, можно сказать, что оперативность в управлении длиной волны, простота в эксплуатации спектрометра и другие достоинства делают прибор удобным в экспериментах по возбуждению Мессбауэровских ядер пучком синхротронного излучения.

Авторы выражают благодарность А.Н.Скринскому, Г.Н.Кулипанову за поддержку в работе и критические замечания, А.Н. Артемьеву за полезное обсуждение, Г.Л.Ковригину, Е.М.Труханову, А.Г.Носкову и Т.Н.Рощиной за помощь в изготовлении кристаллов, а Э.С.Миленину и А.В.Оводовой за выраживание высокочистых монокристаллов германия и определение плотности дислокаций на образцах.

ЛИТЕРАТУРА

1. A.N.Artemyev, V.A.Kabannik et al., Nucl. Inst. and Met. (1978), 152, 235-241.
2. U.Bonse and M.Hart. Appl. Phys. Lett. 1, 238-240 (1965).
3. В.И.Нифонтов. Диссертация. "Радиоэлектронная аппаратура для управления ускорительно-накопительными комплексами при помощи ЭВМ". Новосибирск. ИЯФ СО АН СССР. 1975.
4. S.Kikuta, K.Kohra. J. Phys.Soc.Japan, 29 (1970), 1322-1328.
5. J.H.Beaumont, M.Hart. J. Phys. E7 (1974), 823-829.
6. T.Matsusita. J. Appl. Cryst. 7 (1974), 254-259.
7. М.А.Блохин. Физика рентгеновских лучей. Изд. тех.-теор.литературы. Москва. 1957.
 - a) H.T.Meyer. Wissenschaftliche Veröffentlichungen aus dem Siemens-Konzern 1, 108 (1929).
 - b) J.H.Williams. Phys. Rev. 44, 146 (1933).

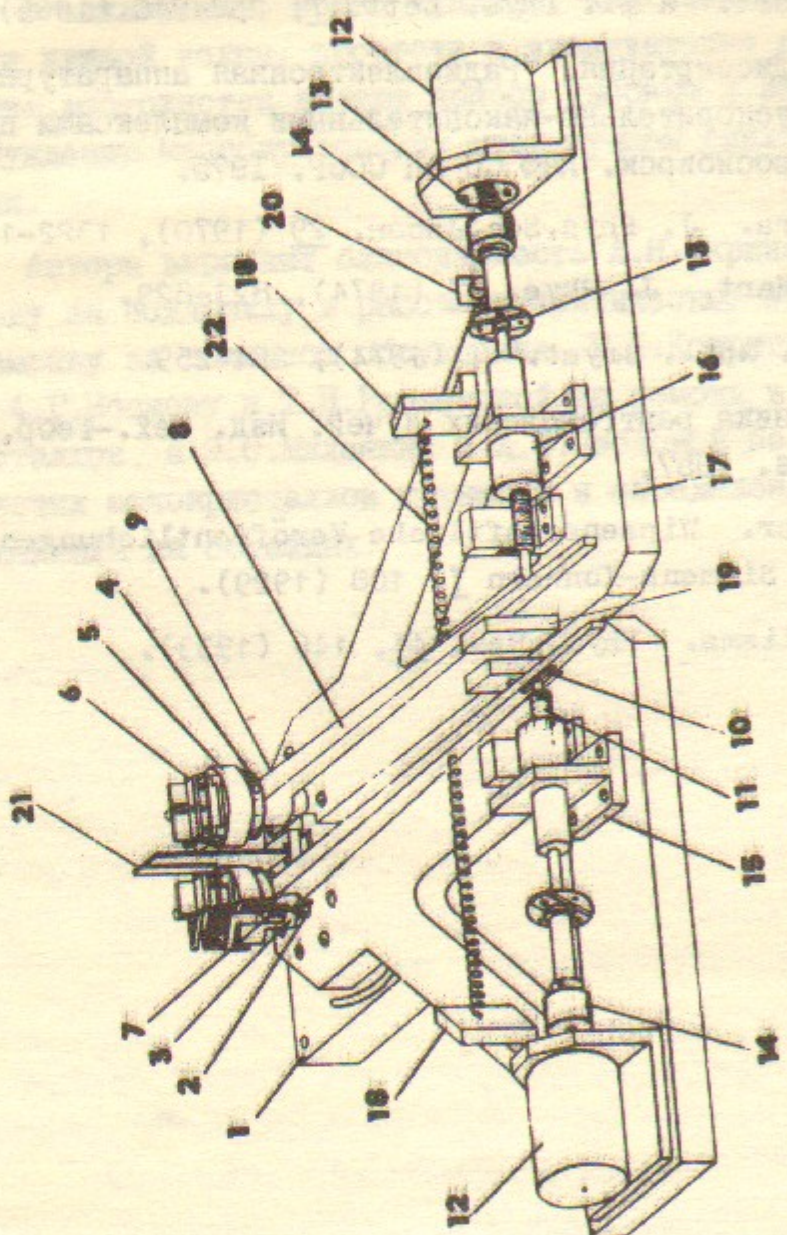


Рис.1. Схема четыреххрустального рентгеновского спектрометра.

1 - базовая плита, 2 - ось вращения, 3 - втулка, 4 - внутренний радиальный рядный подшипник, 5 - винт, 6 - платформа, 7 - подшипниковый винт, 8 - подшипник, 9 - опорная пластинка, 10 - разрезная муфта, 11 - микрометрический винт, 12 - стойка микрометра, 13 - кардан, 14 - подвижная муфта, 15 - вертикальная стойка микрометра, 16 - горизонтальная платформа, 17 - стойка растяжки, 18 - стойка микровибраторов, 19 - гайка микровибраторов, 20 - разъем щеток, 21 - горизонтальная щель, 22 - стойка растяжки.

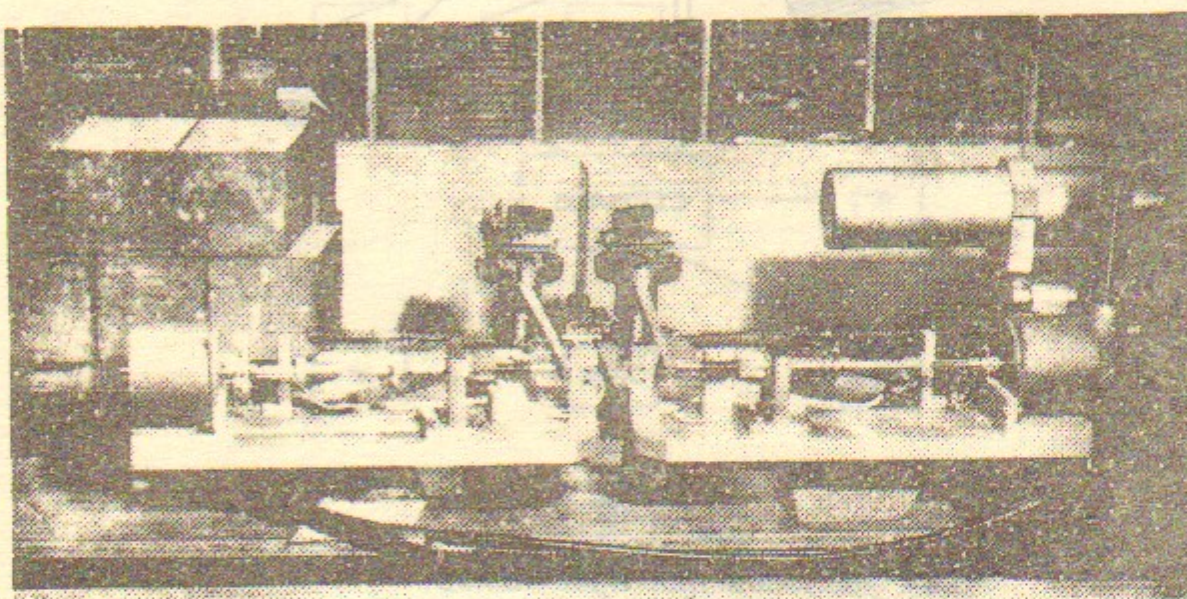


Рис.2.

Общий вид рентгеновского четыреххрустального спектрометра.

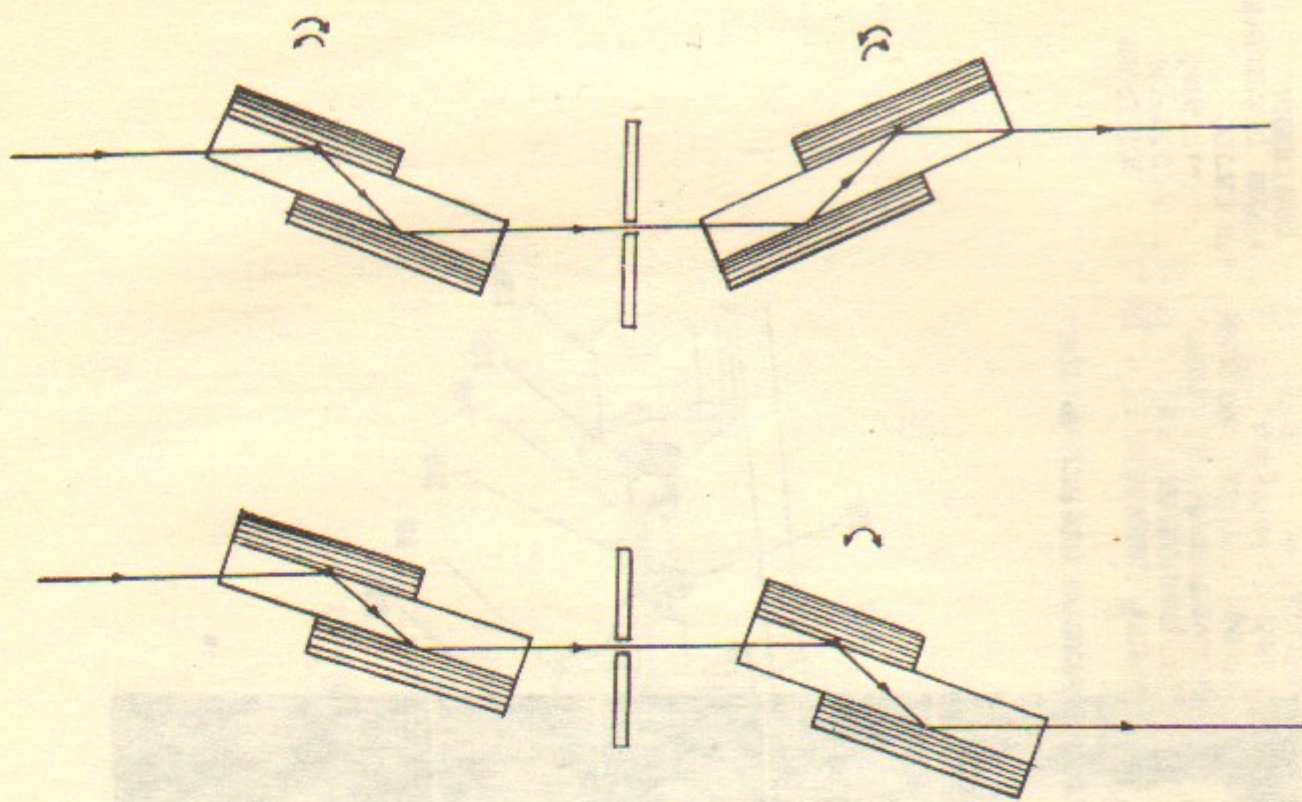


Рис.3.

Схемы расположения кристаллов:
а) положение с D_{max} (+I, +I)
б) положение с $D=0$ (+I, -I)

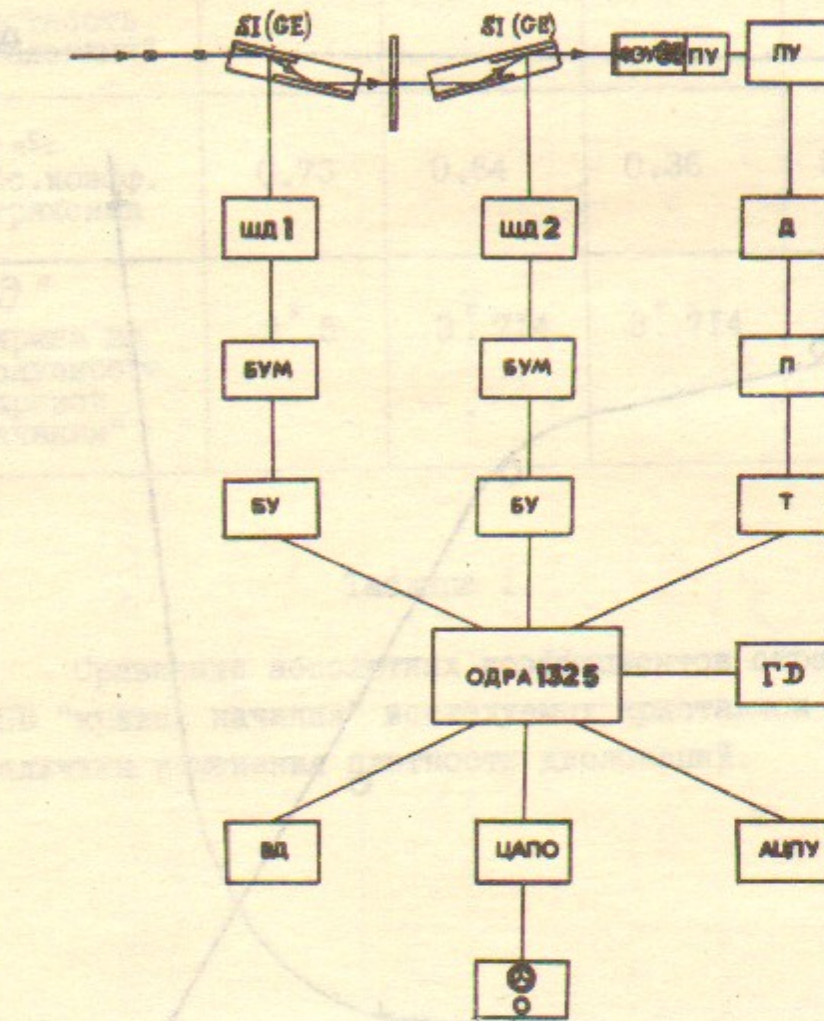


Рис.4

Блок-схема шагового привода четырехкристального спектрометра и внешних устройств, управляемых от ЭВМ. ФЭУ85 – спин-циллиационный детектор с $\lambda_0 \sim 1.1\text{мкм}$; ПУ-предусилитель; ЛУ-линейный усилитель; Д- дискриминатор с постоянным порогом; П - пересчетка; Т - счетчик-таймер; ШД1, ШД2 - шаговые двигатели РШД-28; БУ - блок управления ШД; ВД - видеотон; ЦАПО - цифроаналоговый преобразователь; АЦПУ - Знакопечатающее устройство; О - осциллограф; ГД - Графический цветной дисплей.

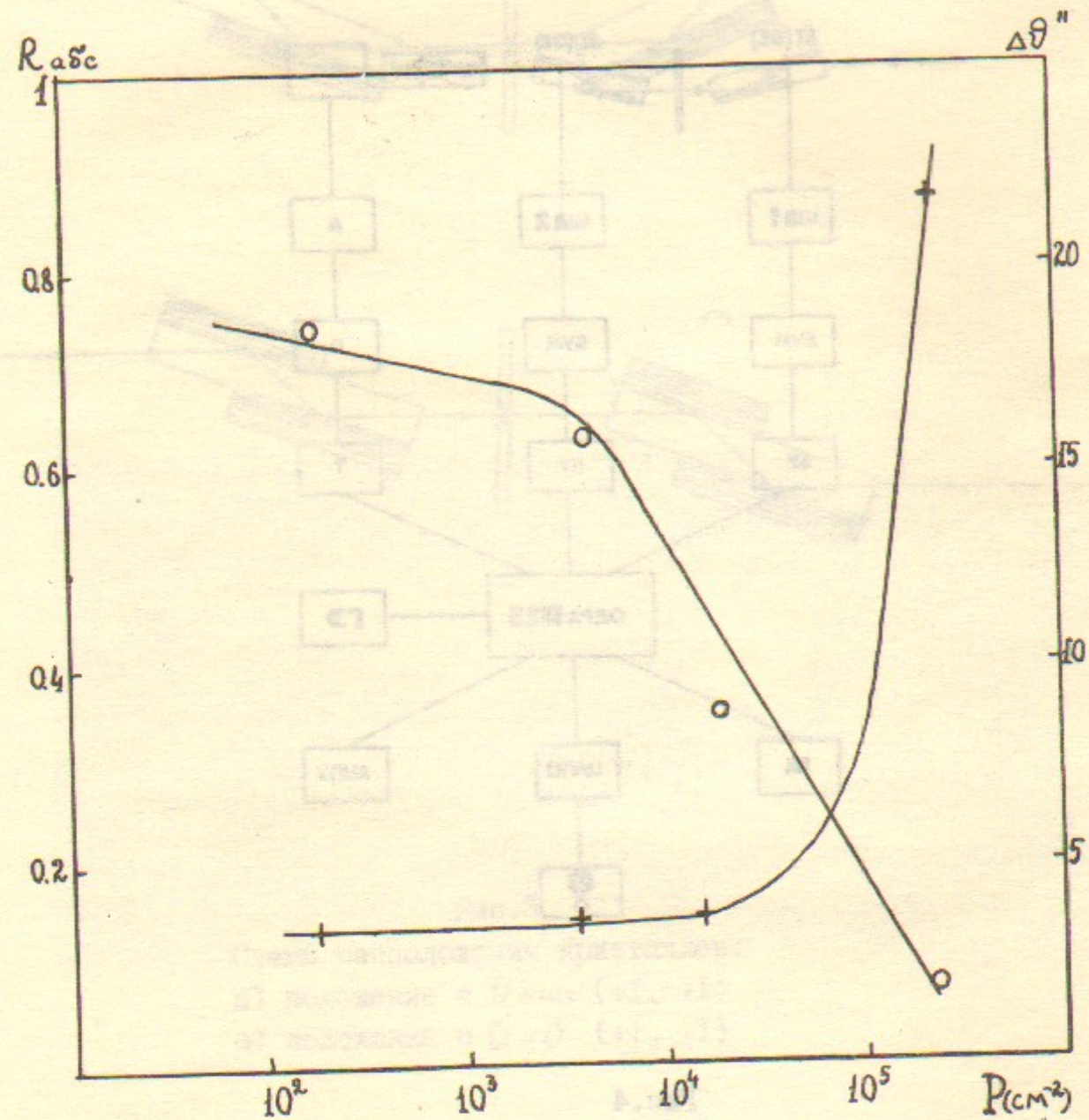


Рис. 5.

Зависимость абсолютных коэффициентов отражений и ширины на полувысоте (ШВ) "кривых качания" Ge (400) кристаллов от изменения величины плотности дислокаций.

Номер кристалла	1	2	3	4
$P_d \text{ см}^{-2}$ плотность дислокаций	$2 \cdot 10^2$	$6,2 \cdot 10^3$	$1,8 \cdot 10^4$	$3,3 \cdot 10^5$
R_{abs} абс.коэф. отражения	0.73	0.64	0.36	0.07
$\Delta\vartheta''$ ширина на полувысоте "кривой качания"	3''.5	3''.714	3''.714	21''.8

Таблица I.

Сравнение абсолютных коэффициентов отражений и ШВ "кривых качания" исследуемых кристаллов Ge от величины изменения плотности дислокаций.

Эмиссионные линии	K_{d_1}	K_{d_2}	K_{β_1}	K_{β_2}
E (КэВ)	17474	17373	19607	19964
γ [7 а]	100	50.6	23.6	3.48
γ [7 б]	100	49.9	27.9	5.17
γ изм.	100	50.1	20.4	3.12

Таблица 2.

Сравнение измеренных спектральных интенсивностей эмиссионных линий Mo трубки с результатами работ [7 а, б].

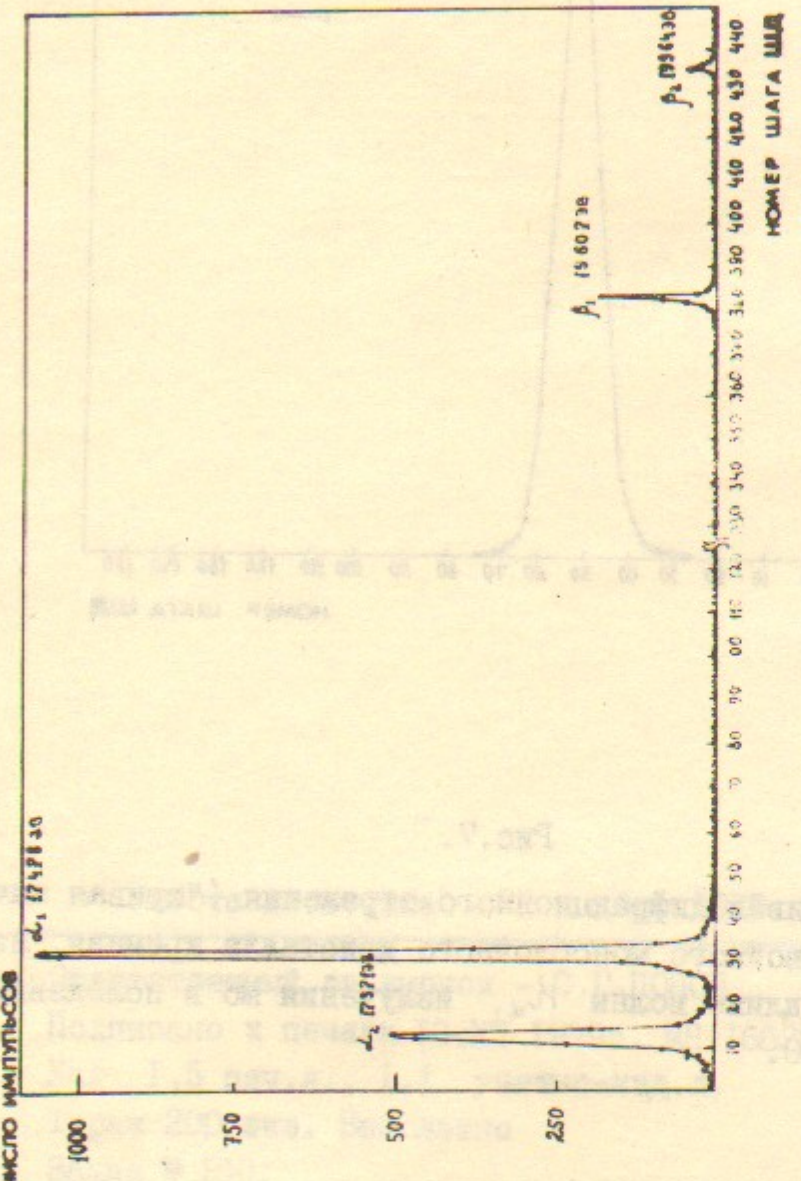


Рис. 6. Спектр эмиссионных линий Mo при измерении в схеме (+i, +i) с D_{max} Si(220) кристаллов в режиме автоматического шагового сканирования

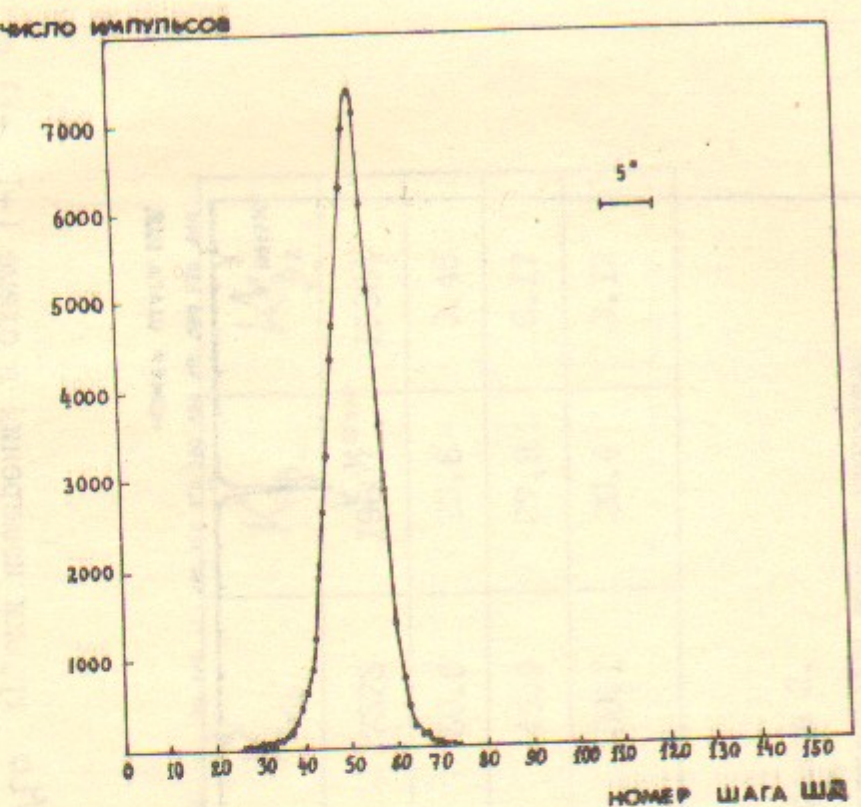


Рис.7.

Кривая дифракционного отражения ("кривая качания")
(220) двойного моноблочного кристалла кремния, измерен-
ная на длине волны $\lambda_{\text{д.1}}$ излучения Mo в положении (+I, -I)
с $D = 0$.

Работа поступила - 22 ноября 1979 г.

Ответственный за выпуск - С.Г.ПОПОВ
Подписано к печати 13.XI.1979г. МН 16638
Усл. 1,5 печ.л., 1,1 учетно-изд.л.
Тираж 200 экз. Бесплатно
Заказ № 160.

Отпечатано на ротапринте ИЯФ СО АН СССР